

Characterization of native strains of agricultural soils tolerant to imidacloprid

Caracterización de cepas nativas de suelos agrícolas tolerantes a imidacloprid

Maribel Mireles-Martínez^{1*}, Angélica Villarreal-Mendoza², Jesús M. Villegas-Mendoza¹, Ana Verónica Martínez-Vázquez¹, Guadalupe Concepción Rodríguez-Castillejos³, Ninfia M. Rosas-García¹

¹Centro de Biotecnología Genómica-Instituto Politécnico Nacional. Blvd. del Maestro s/n Col. Narciso Mendoza, Reynosa, Tamaulipas, C.P. 88710, México.

²Universidad Autónoma de Tamaulipas-UAMRR. Rodhe Carretera Reynosa-San Fernando, cruce con Canal Rodhe Col. Arcoiris, Reynosa, Tamaulipas, C.P. 88779, México.

³Universidad Autónoma de Tamaulipas-UAMRA. Aztlán. Calle Lago de Chapala. Col. Aztlán. Reynosa, Tamaulipas C.P. 88740, México.

*Corresponding author.

E-mail address: mmirelesm@hotmail.com (M. Mireles-Martínez).

Article history:

Received: 9 January 2018 / Received in revised form: 21 March 2018 / Accepted: 22 March 2018 / Published online: 1 April 2018.

<https://doi.org/10.29267/mxjb.2018.3.2.47>

ABSTRACT

Imidacloprid is a broad-spectrum insecticide frequently used in agricultural areas for the control of insect pests. The excessive use of this chemical has caused several ecological and health problems to mammals and humans. This insecticide can be degraded by soil microorganisms and transformed into by-products with a lower degree of toxicity. The objective of this study was to isolate bacteria from maize and sorghum soils contaminated with imidacloprid for several years. Bacteria were isolated with minimum salt medium supplemented with 100 mg/L of imidacloprid as the sole carbon source and energy. Isolated bacteria were subjected to *in vitro* growth tolerance tests and later 16S rDNA molecular characterization was conducted in isolates from different levels of tolerance. From both crops, we obtained 26 isolates with different morphological characteristics. The 63% of the isolates exhibited high tolerance to the insecticide, while 37% of the isolates showed medium, scarce or no tolerance. 16S rDNA molecular identification, grouped the isolates in

Firmicutes and Actinomycetes, important phylum that include bacteria that participate in the degradation of imidacloprid in soil.

Keywords: imidacloprid, insecticide, bacteria, soil, tolerance, 16SrDNA.

RESUMEN

El imidacloprid es un insecticida de amplio espectro utilizado frecuentemente en el área agrícola para el control de insectos plagas. El uso excesivo de este químico ha causado diversos problemas ecológicos y de salud a mamíferos y humanos. Este insecticida puede ser degradado por microorganismos de suelo y ser transformado a metabolitos secundarios con menor grado de toxicidad. El objetivo de este estudio fue aislar bacterias de suelo agrícola con contaminación con imidacloprid por algunos años. Las bacterias fueron aisladas en medio mínimo salino suplementado con 100 mg/L de imidacloprid como única fuente de carbono y energía. Las bacterias aisladas fueron sometidas a prueba de tolerancia de crecimiento *in vitro* y posteriormente a los aislados provenientes de diferentes niveles de tolerancia se les realizó la caracterización molecular a través del 16S rDNA. De ambos cultivos, obtuvimos 26 aislamientos con diferentes características morfológicas. El 63% de los aislamientos exhibieron alta tolerancia al insecticida, mientras que el 37% de los aislamientos mostraron media, escasa o nula tolerancia. La identificación molecular mediante el 16S rDNA, agrupo a los aislados en Firmicutes y Actinomycetes, filo importante que incluye a bacterias que participan en la degradación de imidacloprid en suelo.

Palabras clave: aislados nativos, suelo agrícola, bacterias, tolerancia a imidacloprid, 16SrDNA.

1. INTRODUCCIÓN

El imidacloprid (IMI) es un insecticida de primera generación del grupo de neonicotinoides, comercializado en 1991 por Bayer y registrado en más de 120 países (Elbert *et al.*, 2008; Cycon *et al.*, 2013). Debido a su amplio espectro de acción es usado en la agricultura para el control de plagas por lepidópteros, coleópteros, homópteros, dípteros, que afectan a cultivos pertenecientes a las familias Curcubitaceae, Fabaceae, Lauraceae, Malvaceae y Poaceae, entre otras. Todas estas familias incluyen una gran variedad de cultivos de importancia económica y nutricional. El IMI es un insecticida sistémico que actúa como neurotoxina del receptor nicotínico de acetilcolina (nAChR) de los insectos (Cycon *et al.*, 2013), provocando parálisis y eventualmente la muerte (Nauen *et al.*, 2003). La OMS lo clasifica como moderadamente tóxico, lo que ha generado un uso excesivo de este químico, desplazando a los piretroides. Sin embargo, estudios recientes muestran que el IMI puede afectar además a organismos no blancos, tales como los polinizadores (*Apis mellifera*), así como a pájaros y otros animales (Suchail *et al.*, 2000; US EPA, 2008; Cycon *et al.*, 2013). Este insecticida es considerado de persistencia moderada en el ambiente, puede mantenerse hasta por 47 semanas; es altamente soluble en agua, sin embargo se mantiene en el sitio de aplicación. La degradación de este compuesto es causada por la luz solar, pH, humedad y por la acción microbiana, principalmente (Hussain *et al.*, 2016; Adak

& Mukkerjee, 2016). La degradación del IMI ocurre de manera más rápida en suelos alcalinos (Mahapatra *et al.*, 2017); en este tipo de suelo y además con contenido de carbono orgánico, la vida media varía entre 165 y 247 días, por lo que hay riesgo de lixiviación. Actualmente se conocen los efectos adversos de varios insecticidas sobre la salud humana, por ello se buscan métodos para la eliminación del ambiente. Los insecticidas pueden ser eliminados por métodos físicos o químicos; sin embargo no son del todo eficientes ya que solo se remueven parcialmente. Estudios indican que los métodos biológicos pueden tener mayor eficiencia; dentro de estos se ha estudiado el uso de microorganismos, principalmente hongos y bacterias, degradadores de diversos compuestos químicos contaminantes (Parte *et al.*, 2017). Se ha reportado que bacterias de los géneros *Klebsiella* sp. (Phugare *et al.*, 2013), *Stenotrophomonas maltophilia* (Liu *et al.*, 2013), *Bacillus* sp y *Enterobacter* sp. (Sharma *et al* 2014^{a, c}), pueden degradar a IMI y a otros neonicotinoides (Pandey *et al.*, 2009). Por ello el objetivo del presente estudio fue aislar y caracterizar bacterias de suelo agrícola y evaluar la capacidad de tolerar al IMI en estudios *in vitro*.

2. MATERIALES Y MÉTODOS

2.1 Reactivos y medios de cultivo

El neonicotinoide imidacloprid (SIGMA ALDRICH, 37894) con una pureza de 99.9% fue disuelto en diclorometano (MTEDIA, DS1432-001) grado HPLC a una concentración de 100 mg/L y filtrado a través de una membrana de nylon con tamaño de poro 0.22 µm. El medio mínimo salino (MMS) (g/L: 6g de Na₂HPO₄, 5g de NaCl, 3 g de K₂HPO₄, 0.1 g MgSO₄, 2g NH₄Cl) fue adicionado con 100 mg/L de imidacloprid como única fuente de carbono (MSMI). Se utilizó Caldo Nutritivo (CN) para la activación de los aislados y Agar Nutritivo (AN) para conservar a los microorganismos, ambos de la casa comercial MCD.

2.2 Colecta de suelo agrícola

Se realizó en el campo experimental de PIONEERTM con cultivo de sorgo (25°74'25" N 98°06'85" W) y maíz (25°75'28" N 98°08'79" W) en Río Bravo Tam, en el ciclo primavera-verano 2016, en etapa de corte y F5, respectivamente con antecedente de aplicación de imidacloprid para el control del pulgón amarillo (la aplicación se realizó en el umbral económico de la plaga y una segunda aplicación después de 20 días a una concentración 105 g de ingrediente activo/ha). Las muestras de suelo fueron tomadas de 4 puntos al azar a una profundidad de 10 cm (se consideró una distancia alrededor de 10 m entre puntos) con una espátula de acero inoxidable estéril, para ello primero fue eliminado todo residuo superficial y posteriormente, colocadas en bolsas de polietileno. Las muestras previamente etiquetadas se enviaron al laboratorio, se dejaron secar a temperatura ambiente y se tamizaron con un cartucho de acero inoxidable de 810 µm.

2.3 Aislamiento de microorganismos de suelo

Se tomó 1 g de suelo previamente tamizado y se colocó en 100 mL de MMSI en matraces de 250 mL y se dejaron incubar por 24 h a 30 °C a 180 rpm. Enseguida se realizaron diluciones seriadas para obtener las UFC/g. Se picaron las colonias morfológicamente

diferentes y se transfirieron a cajas de Petri con Agar nutritivo (AN) de 18 a 24 h, hasta obtener colonias puras (Bergey's of Manual). Las cuáles se mantuvieron en agar inclinado en refrigeración hasta su uso, un duplicado de cada cepa pura se conservó en glicerol a -70°C.

2.4 Prueba de tolerancia

A cada aislamiento puro se les realizó una prueba de tolerancia de crecimiento, las cuales después de ser activadas en CN por 18h, una alícuota de 100 µl (dilución 10²) fueron dispersados hasta absorberse en placas de AN que contenían 100 mg/L de imidacloprid y se incubaron a 30°C por 18h. Enseguida se realizó el conteo de colonias y se consideraron los siguientes parámetros de crecimiento: 0 col (nulo), <10 col (escaso*), >10 y <100 col (moderado**) y >100 col (abundante***).

2.5 Caracterización de las cepas seleccionadas

La identificación y caracterización de las cepas se realizó mediante las características de cultivo y morfología de las colonias. Se llevó a cabo la prueba de Gram y la prueba de Catalasa. Para la identificación molecular se realizó la extracción de DNA genómico con el Kit comercial de Wizard® Genomic DNA Purification Kit (Promega) con el protocolo de Aislamiento de DNA de bacterias Gram positivas y Gram negativas. La identificación molecular se realizó por el análisis de la secuencia interna transcrita del gen 16S rRNA utilizando oligonucleótidos universales (fD1 5'-AGAGTTGATCCTGGCTCAG-3' y rP2 5'-ACGGCTACCTTGTACGACTT-3') diseñados por Weisburg (1991) y sintetizados por Biosynthesis (Lewisville, Tx). La reacción de amplificación se realizó con GoTaq Green Master Mix utilizando 12.5 µl (2X), 1 µl de cada oligonucleótido (5µM), 50 ng de DNA a un volumen final de reacción de 25 µl. La reacción de amplificación se realizó como sigue: 94°C/5 min (1 ciclo); enseguida a 94°C/1.25 min, 58°C/1.30 min, 72°C/1 min (35 ciclos); 72°C/7 min (1 ciclo). Los productos de PCR fueron visualizados en un gel de agarosa al 1.5% en un fotodocumentador Kodak, la electroforesis se realizó con Buffer TBE 0.5X por 100V a 45 min, teñido con Sybr Gold. El producto esperado fue de 1500 pb, el cual se purificó con el kit Exo-Sap IT y la reacción de secuenciación se realizó con el protocolo de ABI PRISM Big Dye Terminator Cycle Sequencing Kit (Applied Biosystems, Foster City, CA, USA) en el equipo ABI 3130. Las secuencias obtenidas fueron ensambladas usando el software SeqMan de Lasergene 8 (DNASTAR® Inc., Madison, Wi, USA) enseguida fueron analizadas en la base de datos del NCBI a través de BlastN (<http://blast.ncbi.nlm.nih.gov/>). Las secuencias con más del 98% de identidad con la base de datos del GenBank (www.ncbi.nlm.nih.gov) se consideraron como pertenecientes a la misma especie.

2.6 Construcción de árbol filogenético basado en la secuencia parcial del gen 16SrRNA

Las secuencias parciales del gen 16SrRNA de los aislados nativos y de 8 secuencias estrechamente relacionadas con las cepas de referencia fueron obtenidas de la base de datos del NCBI y utilizadas para la construcción del árbol filogenético. Se realizó un alineamiento múltiple de las secuencias utilizando ClustalW, la construcción de la filogenia

molecular fue mediante el método de UPGMA (Sneath & Sokal, 1973) en el programa MEGA7 (Kumar *et al.*, 2016); posteriormente las agrupaciones filogénéticas respectivas se realizaron de acuerdo al modelo estadístico de Kimura de 2 parámetros (Kimura, 1980) mediante una prueba de bootstrap con 1000 repeticiones (Felsenstein, 1985).

3. RESULTADOS

Se obtuvo una población microbiana de 1×10^5 UFC/g del suelo en cultivo de maíz y 2×10^5 UFC/g en el suelo en cultivo de sorgo con capacidad de crecer en presencia de IMI. De las cuales se purificaron 26 colonias, 12 de ellas provenientes del campo de maíz y 14 provenientes del campo de sorgo, en la tabla 1 se describen las características morfológicas de los aislamientos.

Tabla 1. Características morfológicas de los aislados nativos.

<i>Características macroscópicas</i>				
<i>Color de la colonia</i>	Beige 65%	Crema 19%	Blanca 8%	Amarilla 8%
<i>Consistencia</i>	Cremosa 77%	Viscosa 15%	Dura 8%	
<i>Luz</i>	<i>Transmitida</i>		<i>Reflejada</i>	
	Opaca 92%		Opaca 35%	Transparente 15%
	Traslúcida 8%		Brillosa 50%	
<i>Forma</i>	Circular 52%	Irregular 15%	Puntiforme	Rizoide 8%
			15%	
<i>Margen</i>	Entero 73%	Disperso 11%	Rizoide 8%	Ondulado 8%
<i>Características microscópicas</i>				
<i>Forma celular</i>	Bacilos 84%	Cocobacilos 16%		
<i>Esporas*</i>	23% (+)	77% (-)		
<i>Prueba de Gram</i>	Positiva 65%	Negativa 35%		
<i>Catalasa</i>	Positiva 40%	Negativa 60%		

*Identificación de esporas dentro de 18 a 24 h de incubación a 30°C.

En la prueba de tolerancia se observó que 63% de los aislados presentaron un crecimiento abundante, mientras que el 11% fue moderado y escaso.

En la tabla 2, se presenta el análisis del resultado de blast con homología al gen parcial del 16SrRNA, observándose que los aislados nativos pertenecen principalmente a dos grupos taxonómicos, el 72% a Firmicutes, representado por el género *Bacillus* y el 27% a Actinomicetos, representado por dos géneros *Microbacterium* sp. y *Anthrobacter* sp.

Tabla 2. Resultado de Blast, secuencia parcial del gen 16SrRNA.

ID	Prueba de tolerancia	Descripción del organismo	Identidad	Numero de Acceso
MSI2	***	<i>Bacillus sp.</i> NCCP-535	99%	<u>AB740360.1</u>
MSI3	***	<i>Bacillus subtilis</i> subsp. <i>subtilis</i> str. 168	99%	<u>NC_000964.3</u>
MSI4	***	<i>Bacillus aryabhattachai</i> strain B8W22	99%	<u>NR_115953.1</u>
MSI5	***	<i>Bacillus megaterium</i> NBRC 1530=ATCC	98%	<u>NZ_CP009920.1</u>
MSI6	***	<i>Bacillus megaterium</i> NBRC 1530=ATCC	99%	<u>NZ_CP009920.1</u>
MSI7	***	<i>Bacillus megaterium</i> NBRC 1530=ATCC	99%	<u>NZ_CP009920.1</u>
MSI9	***	<i>Microbacterium yannicci</i> PS01	99%	<u>NZ_CAJF01000059.1</u>
MSI10	*	<i>Arthrobacter nitrophenolicus</i> strain SJC	98%	<u>NZ_AOFD01000111.1</u>
MS11	*	<i>Arthrobacter nitrophenolicus</i> strain SJC	98%	<u>NZ_AOFD01000111.1</u>
PSI7	***	<i>Bacillus aryabhattachai</i> strain B8W22	99%	<u>NR_115953.1</u>
PSI9	**	<i>Bacillus thuringiensis</i> YBT-1518	99%	<u>NC_022873.1</u>

*** Crecimiento abundante en la prueba de tolerancia al IMI (100 mg/L)

** Crecimiento moderado en la prueba de tolerancia al IMI (100 mg/L)

* Crecimiento escaso en la prueba de tolerancia al IMI (100 mg/L)

Se construyó un árbol filogenético con las secuencias de los aislados nativos que presentaron mayor tolerancia de crecimiento en medio enriquecido (MMSI), así como con secuencias representativas de cepas de referencia de la base de datos del NCBI (Figura 1). Este mostró que es evidente la formación de dos grupos taxonómicos obtenidos; el porcentaje de similitud se presenta en la tabla 2.

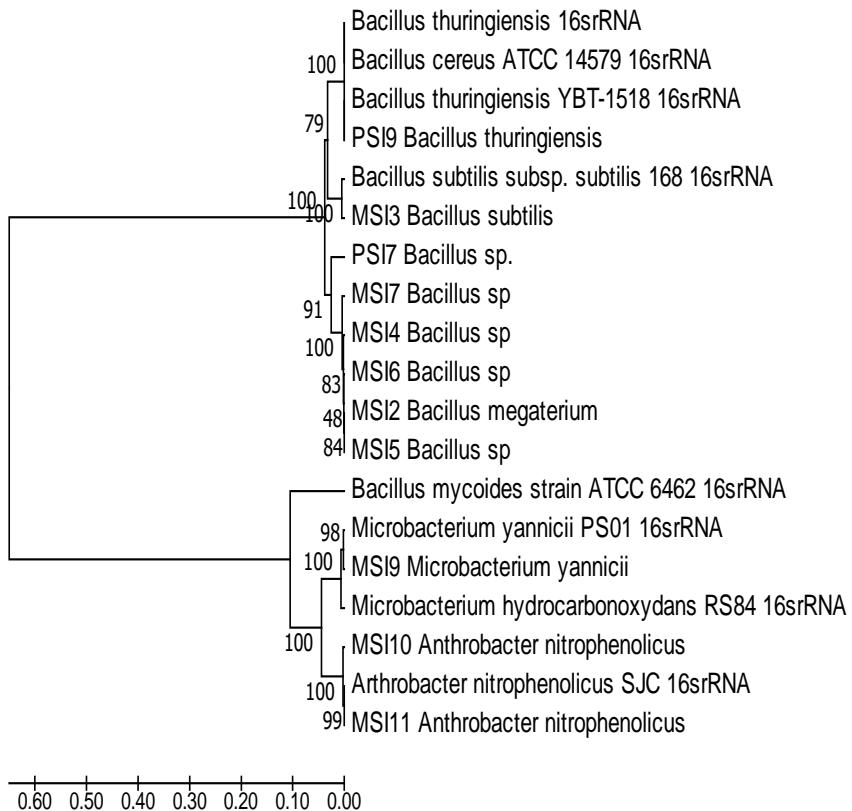


Fig. 1. Árbol filogenético de los aislados nativos basado en la secuencia parcial del gen 16SrDNA. La historia evolutiva fue inferida usando el método UPGMA (MEGA7) con el modelo estadístico Kimura de dos parámetros y 1000 réplicas de bootstrap.

4. DISCUSIÓN

El suelo agrícola ha sido expuesto repetidamente a insecticidas químicos, que pueden servir como sustrato para el crecimiento de diversos microorganismos que participan en varios ciclos geoquímicos y como responsables del reciclaje de compuestos orgánicos. Los microorganismos de suelo contribuyen en la nutrición y salud de plantas, en la estructura y fertilidad de suelo; así como en la degradación de xenobióticos incluyendo varios insecticidas (Kirk *et al.*, 2004; Rana *et al.*, 2015). Diversas especies microbianas de suelo han sido aisladas usando como única fuente de carbono y energía a insecticidas químicos. Se ha reportado a *Klebsiella pneumoniae*, *Pseudomonas sp.*, *Stenotrophomonas maltophilia*, *Pseudoxanthomonas indica* (Liu *et al.*, 2013; Ma *et al.*, 2014), *Leifsonia* (Anhalt *et al.*, 2007), *Brevibacterium sp.*, *Pseudomonas putida*, *Bacillus sp.* *Rhizobium sp.* (Sabourmoghaddam *et al.*, 2015) que pueden degradar al IMI.

En nuestro estudio se utilizó MMS suplementado con 100 mg/L de IMI (MSMI), logrando obtener 26 aislados bacterianos diferentes de suelo agrícola, pero sólo 11 presentaron tolerancia al IMI en AN con 100 mg/L y fueron identificados molecularmente, el resto de los aislamientos presentaron escasa o nula tolerancia al insecticida, además de un crecimiento mayor a 24 h. El género más representativo fue *Bacillus*, observándose las

especies *B. megaterium*, *B. thuringiensis*, *B. subtilis*. Los aislados nativos MSI5, MSI6, MSI7 corresponden a *Bacillus megaterium* con un 99% de identidad, siendo ésta la bacteria más abundante. La cual se ha caracterizado por remover residuos de metales como níquel y vanadio (Fierros-Romero *et al.*, 2016). La cepa PSI9 presentó un 99% de identidad con *B. thuringiensis*, además de la presencia de cristales proteicos bipirámidales observados mediante microscopía óptica (dato no presentado). Esta bacteria es conocida por su uso como agente de control biológico para plagas del área agrícola, forestal y de importancia médica a nivel mundial (Brar *et al.*, 2006), también se han realizado estudios de degradación de insecticidas organofosfatos (Wu *et al.*, 2013; Gangireddygari *et al.*, 2017), piretroides (Chen *et al.*, 2015, Pankaj *et al.*, 2016) por lo que se le considera una bacteria prometedora para la degradación de insecticidas químicos de suelo (Ferreira *et al.*, 2016). Por otra parte *B. subtilis* se ha reportado en la degradación de organofosforados (Acharya *et al.*, 2015) y organoclorados (Kumar *et al.*, 2014) y a *B. aryabhatti* como promotora de crecimiento (Lee *et al.*, 2012). No obstante, se ha reportado a otras especies de este género como degradadoras de IMI (Sharma *et al.*, 2014^b).

En cuanto a *Microbacterium sp* y *Arthrobacter sp*, las cuales pertenecen a los actinomicetos se ha reportado que *A. nitrophenolicus* demostró tener potencial en degradar compuestos nitrofenólicos lo cual fue el caso de 2-cloro-4-nitrofenol (Arora & Jain., 2013), en este estudio la cepa MSI10 y MSI11 tienen 98% de similitud con la cepa SJC (NZ_AOFD01000111.1). Mientras que el aislamiento MSI9 presentó un 99% de identidad con *M. yannicci* (NZ_CAJF01000059.1), esta especie no se ha reportado en estudios de degradación o de remoción de xenobióticos. Sin embargo, este género se ha estudiado con fines de degradación de organofosforados y piretroides (Panneerselvan, 2013). De acuerdo a nuestros resultados las especies bacterianas encontradas en este estudio presentan un potencial biotecnológico para estudios posteriores de biodegradación del imidacloprid.

AGRADECIMIENTOS

Los autores agradecen el apoyo económico a la Secretaría de Investigación y Posgrado (SIP20171866) y a la beca EDI.

CONFLICTO DE INTERESES

Los autores declaran que no existe conflicto de intereses.

APÉNDICE A. MATERIAL SUPLEMENTARIO

Información adicional sobre ésta investigación se encuentra enseguida de la sección de referencias.

REFERENCIAS

Acharya, K. P., Shilpkar, P., Shah, M.C. & Chellapandi, P. 2015. Biodegradation of Insecticide Monocrotophos by *Bacillus subtilis* KPA-1, Isolated from Agriculture Soils. Applied Biochemistry Biotechnology. 175:1789–1804.

Adak, T. & Mukkerjee, I. 2016. Investigating role of abiotic factors on spinosad dissipation. Bulletin of Environmental Contamination and Toxicology. 96(1):125–129. doi: 10.1007/s00128-015-1644-z

Anhalt, JC., Moorman T. C. & Koskinen, W. C. 2007. Biodegradation of imidacloprid by an isolated soil microorganism. Journal of Environmental Science and Health Part B, 509–514.

Arora, P.K. & Jain, R.K. 2013. *Arthrobacter nitrophenolicus* sp. nov. a new 2-chloro-4-nitrophenol degrading bacterium isolated from contaminated soil. 3 Biotech. 3:29–32

Brar, S.K., Verma, M., Tyagi, R.D. & Valéro, J.R. 2006. Recent advances in downstream processing and formulations of *Bacillus thuringiensis* based biopesticides. Process Biochem 41, 323–342.

Chen S., Deng, Y., Chang C., Lee, J., Cheng, Y., Cui, Z., Zhou J., He, F., Hu M. & Zhan L.H. 2015. Pathway and kinetics of cyhalothrin biodegradation by *Bacillus thuringiensis* strain ZS-19. Scientific reports. 5:8784. 1-10.

Bergey's Manual Of Systematic Bacteriology. 2005. Edit. Don J. Brenner, Noel R. Krieg, James T. Staley. Springer. Vol. 2.

Cycon M., Markowicz, A., Borymski, S., Wójcik M. & Piotrowska-Seget, S. 2013. Imidacloprid induces changes in the structure, genetic diversity and catabolic activity of soil microbial communities. Journal of Environmental Management. 131 (2013) 55-65

Elbert, A., Haas, A., Springer, B., Thielert, W. & Nauen R. 2008. Mini-review: Applied aspects of neonicotinoid uses in crop protection- Pest Management Science. 64:1099–1105.

Ferreira L., Rosales E., Danko A.S., Sanromán M.A, & pazos M,M. 2016. *Bacillus thuringiensis* a promising bacterium for degrading emerging pollutants. Process Safety and Environmental Protection. 101: 19-26.

Felsenstein J. (1985). Confidence limits on phylogenies: An approach using the bootstrap. Evolution 39:783-791.

Fierros-Romero, G., Gómez-Ramírez, M., Arenas-Isaac, G.E, Pless R.C., & Rojas-Avelizapa, N.G. 2016. Identification of *Bacillus megaterium* and *Microbacterium liquefaciens* genes involved in metal resistance and metal removal. Canadian Journal of Microbiology. 62(6):505–513.

Gangireddygari, V.S.R., Kumar P. K, Ntushelo, K., Bangeppagari, M., Djami A.T. & Reddy B. 2017. Influence of environmental factors on biodegradation of quinalphos by *Bacillus thuringiensis*. Environmental Sciences Europe. 29(1): 11.

Hussain, S., Hartley, C. J., Shettigar, M., & Pandey, G. 2016. Bacterial biodegradation of neonicotinoid pesticides in soil and water systems. FEMS microbiology letters, 363(23): 1-13.

Kimura M. 1980. A simple method for estimating evolutionary rate of base substitutions through comparative studies of nucleotide sequences. *Journal of Molecular Evolution* 16:111-120.

Kirk, J. L., Beaudettea, L.E., Hart, B., Moutoglou, P, Klironomos , J.N, Lee, H. & Trevorsa, J.T. 2004. Methods of studying soil microbial diversity. *Journal of Microbiological Methods* 58: 169-188.

Kumar A., Bhoot, N., Soni, I., & John P.J. 2014. Isolation and characterization of a *Bacillus subtilis* strain that degrades endosulfan and endosulfan sulfate. *3 Biotechnology*. 4:467–475

Kumar S., Stecher G. & Tamura K. 2016. MEGA7: Molecular Evolutionary Genetics Analysis version 7.0 for bigger datasets. *Molecular Biology and Evolution* 33:1870-1874.

Lee, S., Jong-Ok Ka. & Hong-Gyu Song. 2012. Growth Promotion of *Xanthium italicum* by Application of Rhizobacterial Isolates of *Bacillus aryabhattachai* in Microcosm Soil. *The Journal of Microbiology*. 45–49 .

Liu Z., Dai, Y., Huan Y., Liu Z., Sun, L., Zhou, Q., Zhang W., Sang Q., Wei, H., Yuan, S. 2013. Different utilizable substrate have different effects on cometabolic fate of imidacloprid in *Stenotrophomonas maltophilia*. *Applied Microbiology Biotechnology*. 97:6537-6547.

Ma, Y., Zhai S., Mao S.Y., Sun, L.S., Wang, Y., Liu Z.H. & Dai Y. J. 2014. Co-metabolic transformation of the neonicotinoid insecticide imidacloprid by the soil isolate *Pseudoxanthomonas indica* CGMCC6648. *Journal of Environmental Science and Health, Part B*. 49: 661-670.

Mahapatra, B., Adak, T., Patil, N. K., Pandi, G. G. P., Gowda, G. B., Yadav, M. K. & Jena, M. (2017). Effect of Abiotic Factors on Degradation of Imidacloprid. *Bulletin of Environmental Contamination and Toxicology*, 99(4), 475-480.

Nauen, R., Ebbinghaus-Kintzsch, U. Salgado, V.L. & Kaussmann, M. 2003. Thiamethoxam is a neonicotinoid precursor converted to clothianidin in insects and plants. *Pesticide Biochemistry and Physiology* 76 (2003) 55–69.

Pandey, G., Dorrian, S.J., Russell R. J. & Oakeshort J.G. 2009. Biotransformation of the neonicotinoid insecticides imidacloprid and thiamethoxam by *Pseudomonas* sp. 1G. *Biochemical and Biophysical Research Communications*. 380: 710-714.

Pankaj, Negi, G., Gangola, S., Khati P., Kumar G., Srivastava A. & Sharma A. 2016 Differential expression and characterization of cypermethrin degrading potential proteins in *Bacillus thuringiensis* strain, SG4. *3 Biotech.* 6 (225)2-13.

Panneerselvan L. 2013. Tesis. Enzymatic detoxification of organophosphorus pesticides, fenamiphos and malathion by *Microbacterium* sp. MM1. Doctor of Philosophy Centre for Environmental Risk Assessment and Remediation Division of the Information Technology, Engineering and the Environment. University of South Australia.

Parte, S.G., Mohekar, A.D. & Kharat, A. 2017. Microbial degradation of pesticide: a review. African Journal of Microbiology Research. 11:992-1012.

Phugare S.S., Kalyani D.C., Gaikad Y.B. & Jadhav J.P. 2013. Microbial degradation of imidacloprid and toxicological analysis of its biodegradation metabolites in silkworm (*Bombyx mori*). Chemical Engineering Journal. 230:27-35. DOI: 10.1016/j.cej.2013.06.042

Rana S., Jindal, V., Mandal K., Kaur, G., Gupta, V. K. 2015. Thiamethoxam degradation by *Pseudomonas* and *Bacillus* strains isolated from agricultural soil. Environmental Monitoring and Assessment. 187:300.

Sabourmoghaddam, N., Pauzi Zakaria M. & Dzolkhifli O. 2015. Evidence for the microbial degradation of imidacloprid in soils of Cameron Highland. Journal of the Saudi Society of Agricultural Sciences. 182–188.

Sharma, S., Singh B. & Gupta, V.K. 2014a. Assessment of imidacloprid degradation by soil isolated *Bacillus alkalinitrilicus*. Environmental Monitoring and Assessment. 186:7183-7193.

Sharma, S., Singh B., & Gupta V. K. 2014b. Biodegradation of Imidacloprid by Consortium of Two Soil Isolated *Bacillus* sp. Bulletin of Environmental Contamination and Toxicology. 93:637–642.

Sharma T., Rajor, A. & Pal-Toor, A. 2014c. Degradation of Imidacloprid in Liquid by Enterobacter sp. Strain ATA1 using co-metabolism. Bioremediation Journal. 18:227-235.

Sneath P.H.A. & Sokal R.R. (1973). Numerical taxonomy: the principles and practice of numerical classification. San Francisco: Freeman. 30(1): 573.

Suchail, S. Guez D. & Belzunces L. 2000. Characteristics of Imidacloprid Toxicity in Two *Apis mellifera* Subspecies. Environmental Toxicology and Chemistry. 19(7):1901–1905.

US EPA (2008) Imidacloprid summary document registration review: initial docket December 2008. Docket Number: EPA-HQ-OPP-2008-0844.

Weisburg, W.G., Barns, S. M., Pelletier, D.A. & Lane, D.J. 1991. 16S Ribosomal DNA Amplification for Phylogenetic Study. Journal of Bacteriology. 173(2): 697-703.

Wu, S., Yan P., Zhangmin H., Zhipeng H., Lei X., Gelbič I., Xiong G., Lingling Z., & Shuangquan Z. 2013. Isolation and characterization of a novel native *Bacillus thuringiensis* strain BRC-HZM2 capable of degrading chlorpyrifos. Journal of Basic Microbiology. 55(3): 389–397.

APÉNDICE A.

Material suplementario

Análisis de las secuencias parciales del gen 16S rDNA

Las secuencias obtenidas en formato Fasta fueron sometidas a MEGA 7, para llevar a cabo un alineamiento múltiple mediante CLUSTALW, el resultado fue exportado en formato MEGA y enseguida se sometió a la búsqueda del Modelo matemático para secuencias de DNA (parámetros por default). Se considera el mejor modelo arrojado por el programa (Kimura de 2 parámetros) y enseguida se inicia con la construcción de la filogenia molecular. Se seleccionan las preferencias del método: Método estadístico (UPGMA), Test de Filogenia (Método de Bootstrap con 1000 réplicas), Modelo de sustitución (Kimura de 2 parámetros e incluye sustitución d: transiciones y transversiones), con completa supresión de Gaps. Los resultados del árbol se muestran en la figura 1.

Resultado de las secuencias parciales del gen 16S rDNA de los aislados nativos

```
>MSI2_Bacillus_megaterium
TGCAGTCGAGCGAACGTGATTAGAAGCTTGCATTATGACGTTAGCGGCGGACGGGTGAGTAACAC
GTGGGCAACCTGCCTGTAAGACTGGGATAACTCAGGGAAACCGAAGCTAATACCGGATAGGATCTT
CTCCTCATGGGAGATGATTGAAAGATGGTTCGGCTATCACTTACAGATGGGCCCGCGGTGCATT
AGCTAGTTGGTGAGGTAACGGCTACCCAAGGCAACGATGCATAGCCGACCTGAGAGGGTGATCGGC
CACACTGGGACTGAGACACGGCCCAGACTCCTACGGGAGGCAGCAGTAGGGAATCTCCGCAATGG
ACGAAAGTCTGACGGAGCAACGCCGCGTGAGTGTGATGAAGGCTTCGGGCGTAAACACTGTGTT
AGGGAAACAAGTACGAGAGTAACGCTCGTACCTTGACGGTACCTAACAGAAAGCCACGGCTA
ACTACGTGCCAGCAGCCCGGTAATACGTAGGGCAAGCGTTATCCGGAATTATTGGGCGTAAAG
CGCGCGAGGCAGGTTCTTAAGTCTGATGTGAAAGCCACGGCTAACCGTGGAGGGTATTGGAA
ACTGGGAACCTGAGTGCAGAAGAGAAAAGCGGAATTCCACGTGTAGCGGTGAAATGCGTAGAGAT
GTGGAGGAACACCAGTGGCGAAGGGCGCTTTGGTCTGTAACGTGACGCTGAGGCGCGAAAGCGTG
GGGAGCAAACAGGATTAGATAACCTGGTAGTCCACGCCAACGATGAGTGTCAAGTGTAGAGG
GTTTCCGCCCTTACTGCTGCAGCTAACGCATTAAGCACTCCGCCTGGGAGTACGGTCGCAAGAC
TGAAAATCAAAGGAATTGACGGGGGCCGCACAAGCGTGGAGCATGTGGTTAACGCAAGAAC
GCGAAGAACCTTACCGGTCTTGACATCCTCTGACAACACTAGAGATAGAGCGTCCCCCTCGGGG
GAAAAAGTGACAGGTGGTGCATGGTTGAATCAGCTCGTGT
```

```
>MSI3_Bacillus_subtilis
TGCAGTCGAGCGGACAGATGGGAGCTTGCCTGATGTTAGCGGCGGACGGGTGAGTAACACGTG
GGTAACCTGCCTGTAAGACTGGGATAACTCCGGAAACCGGGCTAATACCGGATGCTGTTGAA
CCGCATGGTTCAAACATAAAAGGTGGCTTCGGCTACCAAGGCAACGATGCGTAGCCGACCTGAGAGGGTGATCGGCCAC
TAGTTGGTGAGGTAACGGCTCACCAAGGCAACGATGCGTAGCCGACCTGAGAGGGTGATCGGCCAC
ACTGGGACTGAGACACGGCCCAGACTCCTACGGGAGGCAGCAGTAGGGAATCTCCGCAATGGACG
AAAGTCTGACGGAGCAACGCCCGTGAGTGTGAGGTTTCGGATCGTAAGCTCTGTTGTTAGG
GAAGAACAAAGTACCGTTAAATAGGGCGGTACCTTGACGGTACCTAACAGAAAGCCACGGCTAAC
TACGTGCCAGCAGCCCGGGTAATACGTAGGTGGCAAGCGTTGTCCGGAATTATTGGGCGTAAAGGG
CTCGCAGGCAGGTTCTTAAGTCTGATGTGAAAGCCCCGGCTAACCGGGGAGGGTATTGGAAAC
TGGGGAACTTGAGTGCAGAAGAGGGAGTGGAAATTCCACGTGTAGCGGTGAAATGCGTAGAGATGT
GGAGGAACACCAGTGGCGAAGGCAGCTCTGGTCTGTAACGTGACGCTGAGGAGCGAAAGCGTGGG
GAGCGAACAGGATTAGATAACCTGGTAGTCCACGCCGTAAACGATGAGTGTCAAGTGTAGGGGGT
```

TTCCGCCCTTAGTGCTGCAGCTAACGCAATTAGCACTCCGCATGGGAGTACGGTCGAAGACTG
AAACTCAAAGGAATTGACGGGGCCAGCACAGCGGTGAAACATGGGATTAAATTGAA

>MSI4_Bacillus_sp

GCAATCGAGCGAAGCTGATTAGAAGCTTGAATTCTATGACGTTAGCGGCGGACGGGTGAGTAACACG
TGGGCAACCTGCCTGTAAGACTGGGATAACTTCGGAAACCGAAGCTAATACCGGATAGGATCTC
TCCTTCATGGGAGATGATTGAAAGATGGTTCGGCTATCACTTACAGATGGGCCCGCGGTGCATTA
GCTAGTTGGTGAGGTAAACGGCTACCAAGGCAACGATGCATAGCCGACCTGAGAGGGTATCGGCC
ACACTGGGACTGAGACACGGCCCAGACTCCTACGGGAGGCAGCAGTAGGAAATCTTCCGCAATGGA
CGAAAGTCTGACGGAGCAACGCCCGTGAATGATGAAAGCTTCCGGTCAACAGAAAGCCACGGCTAA
GGGAAGAACAGTACAAGAGTAACGCTTGTACCTGACGGTACCTAACAGAAAGCCACGGCTAA
CTACGTGCCAGCAGCCGCGTAATACGTAGGTTGGCAAGCGTTATCCGAATTATTGGCGTAAAGC
GCGCGCAGGCCGGTTCTTAAGTCTGATGAAAGCCCACGGCTAACCGTGGAGGGTATGGAAA
CTGGGAAACTTGAGTGCAGAAGAGAAAAGCGGAATTCCACGTGAGCGGTGAAATGCGTAGAGATG
TGGAGGAACACCAGTGGCGAAGGGCGTTTTGGTCTGTAACGACTGACGCTGAGGCGCGAAAGCGTGG
GGAGCAAACAGGATTAGATACCTGGTAGTCCACGCCGAAACGATGAGTCTGAAAGTGTAGAGGG
TTTCCGCCCTTAGTGCTGCAGCTAACGCAATTAGCACTCCGCCTGGGAGTACGGTCGCAAGACT
GAAACTCAAAGGAATTGACGGGGGCCGCACAAGCGGTGGAGCATGTGGTTAATTGAAAGCAACG
CGAAGAACCTTACCAAGGTCTGACATCCTCTGACAACCTAGAGATAGAGCGTTCCCTCGGGGG
ACAAAGTGACAGGTGGTGCATGGTTGTCATCAGCTGTCGTGAAATGTTGGGTTAAGTCC

>MSI5_Bacillus_sp

TGCAAGTCGAGCGAAGCTGATTAGAAGCTTGCCTATGACGTTAGCGGCGGACGGGTGAGTAACAC
GTGGGCAACCTGCCTGTAAGACTGGGATAACTTCGGAAACCGAAGCTAATACCGGATAGGATCTT
CTCCTTCATGGGAGATGATTGAAAGATGGTTCGGCTATCACTTACAGATGGGCCCGCGGTGCATT
AGCTAGTTGGTGAGGTAAACGGCTACCAAGGCAACGATGCATAGCCGACCTGAGAGGGTATCGGC
CACACTGGGACTGAGACACGGCCCAGACTCCTACGGGAGGCAGCAGTAGGAAATCTCCGCAATGG
ACGAAAGTCTGACGGAGCAACGCCCGTGAATGAGTGAAGGCTTCCGGTCAACAGTGTAGAGATG
AGGGAAACAAGTACGAGAGTAACGCTCGTACCTTGACGGTACCTAACAGAAAGCCACGGCTA
ACTACGTGCCAGCAGCCCGGTAATACGTAGGTTGGCAAGCGTTATCCGAATTATTGGCGTAAAG
CGCGCGCAGGCCGGTTCTTAAGTCTGATGAAAGCCCACGGCTAACCGTGGAGGGTATGGAA
ACTGGGAAACTTGAGTGCAGAAGAGAAAAGCGGAATTCCACGTGAGCGGTGAAATGCGTAGAGAT
GTGGAGGAACACCAGTGGCGAAGGGGGCTTTGGTCTGTAACGACTGACGCTGAGGCGCGAAAGCGTG
GGGAGCAAACAGGATTAGATACCTGGTAGTCCACGCCGAAACGATGAGTCTGAAAGTGTAGAGGG
GTTTCCGCCCTTAGTGCTGCAGCTAACGCAATTAGCACTCCGCCTGGGAGTACGGTCGCAAGAC
TGAAAATCAAAGGAATTGACGGGGGCCGCACAAGCGGTGGAGCATGTGGTTAATTGAAAGCAAC
GCGAAGAACCTTACCAAGGTCTGACATCCTCTGACAACCTAGAGATAGAGCGTTCCCTCGGGGG
AAAAAAAGTGACAGGTGGTGCATGGTTGTCCTCACCTCCTGCAAAATATAAGGGTAAAGTCCAACA
ACGAGCAAACCCCTGATCTTAGTTG

>MSI6_Bacillus_sp

TGCAAGTCGAGCGAAGCTGATTAGAAGCTTGCATTCTATGACGTTAGCGGCGGACGGGTAAAGTAACA
CGTGGGCAACCTGCCTGTAAGACTGGGATAACTTCGGAAACCGAAGCTAATACCGGATAGGATCT
TCTCCTTCATGGGAGATGATTGAAAGATGGTTCGGCTATCACTTACAGATGGGCCCGCGGTGCAT
TAGCTAGTTGGTGAGGTAAACGGCTACCAAGGCAACGATGCATAGCCGACCTGAGAGGGTATCGG
CCACACTGGGACTGAGACACGGCCCAGACTCCTACGGGAGGCAGCAGTAGGAAATCTCCGCAATG
GACGAAAGTCTGACGGAGCAACGCCCGTGAATGAGTGAAGGCTTCCGGTCAACAGTGGAGGGTATGG
TAGGGAAAGAACAGTATGAGAGTAACGCTCGTACCTTGACGGTACCTAACAGAAAGCCACGGCT
AACTACGTGCCAGCAGCCCGGTAAATACGTAGGTTGGCAAGCGTTATCCGAATTATTGGCGTAA
GCGCGCGCAGGCCGGTTCTTAAGTCTGATGAAAGCCCACGGCTAACCGTGGAGGGTATGGAA
AACTGGGAAACTTGAGTGCAGAAGAGAAAAGCGGAATTCCACGTGAGCGGTGAAATGCGTAGAGA
TGTGGAGGAACACCAGTGGCGAAGGGGGCTTTGGTCTGTAACGACTGACGCTGAGGCGCGAAAGCGT

GGGGAGCAAACAGGATTAGATAACCCTGGTAGTCCACGCCGTAAACGATGAGTGCTAAGTGTAGAG
GGTTCCGCCCTTAGTGCTGCAGCTAACGCTAACGACTCCGCCTGGGGAGTACGGTCGCAAGA
CTGAAACTCAAAGGAATTGACGGGGCCCGACAAGCGGTGGAGCATGTGGTTAATCGAAGCAA
CGCGAAGAACCTTACCAAGGTCTGACATCCTCTGACAACTAGAGATAGAGCGTTCCCCTCGGG
GGAAAAAGTGACAGGAGATGCATGGTTGTCGTAGCT

>MSI7_Bacillus_sp

CTGCAGTCGAGCGAACTGATTAGAAGCTTGACATTCTATGACGTTAGCGGCAGCGGTGAGTAACA
CGTGGGCAACCTGCCTGTAAGACTGGGATAACTTCGGGAAACCGAAGCTAACCGGATAGGATCT
TCTCCTCATGGGAGATGATTGAAAGATGGTTCGGCATACCTACAGATGGGCCCGCGTGCAT
TAGCTAGTTGGTAGGGTAACGGCTACCAAGGCAACGATGCATAGCCGACCTGAGAGGGTGATCGG
CCACACTGGGACTGAGACACGGCCAGACTCCTACGGAGGCAGCAGTAGGAAATCTTCCGCAATG
GACGAAAGTCTGACGGAGCAACGCCCGTGAAGTGTGAAGGCTTCGGGTGTAAGGCT
TAGGGAAAGAACAAAGTACGAGAGTAACGCTCGTACCTGACGGTACCTAACAGAAAGCCACGGCT
AACTACGTGCCAGCAGCCCGGTAAATACGTAGGTGGCAAGCGTTATCCGGAATTATTGGCGTAAA
GCGCGCGCAGGGGTTCTAAGTGTGAAGGCCACGGCTAACCGTGGAGGGTCATTGGA
AACTGGGAACTTGAGTGCAGAAGAGAAAAGCGGAATTCCACGTGTAGCGGTGAAATCGTAGAGA
TGTGGAGGAACACCAGTGGCGAAGGGGCTTTGGTCTGTAACGTGACGCTGAGGCGCGAAAGCGT
GGGGAGCAAACAGGATTAGATAACCCTGGTAGTCCACGCCGTAAACGATGAGTGCTAAGTGTAGAG
GGTTCCGCCCTTAGTGCTGCAGCTAACGCTAACGACTCCGCCTGGGGAGTACGGTCGCAAGA
CTGAAACTAAAGGAATTGACGGGGCCAGCACACCGAACATGTGGTTAATCGAACAC
C

>MSI9_Microbacterium_yannicii

GTGTTACCGACTTCATGACTTGACGGCGGTGTACAAGACCCGGAACGTATTACCGCAGCG
TTGCTGATCTGCGATTACTAGCGACTCCGACTTCATGAGGTGAGTTGCAGACCTAACCGAAC
GGGACCGGCTTTGGATCGCTCCACCTCACGGTATTGCAAGCCCTTGTACCGGCCATTGTAGC
ATGCGTGAAGCCAAGACATAAGGGCATGATGATTGACGTACCCACCTCCTCGAGTTGA
CCCCGGCAGTATCCCATGAGTTCCACCATAACGTGCTGGCAACATAGAACGAGGGTTGCCTCG
TGCAGGACTTAACCAACATCTCACGACACGAGCTGACCGACAACCAGTGCACCCACCTGTCAG
GTCCAAGAGTCCCCCATTCTGGGTGTTCTGTATGTCAAGCCTGGTAAGGTTCTCGCGT
TGCATCGAATTAAATCCGATGCTCCCGCTTGTGCGGGTCCCCGTCAATTCTTGTAGTTAGC
CTTGCAGCGTACTCCCCAGGCAGGGAACTTAATGCGTAGCTGCGTCACGGAATCCGTGGAAAGG
ACCCCAACAATAGTCCCAACGTTACGGGGTGGACTACCAGGGTATCTAACGCTGTTGCTCCCC
ACCCTTCGCTCCTCAGCGTCAGTTACGGCCCAGAGATCTGCCTCGCCATCGGTGTTCTCCTGA
TATCTGCGCATTCCACCGTACACCAAGGAATTCCAATCTCCCTACCGCACTCTAGTCTGCCCGTA
CCCACTGCAAGGCCAGGGTTGAGCCTCGGGATTTCACAGCAGACGCGACAAACCGCCTACGAGCTC
TTTACGCCAATAATTCCGGATAACGCTTGCAGCCCTACGTATTACCGGGCTGCTGGCACGTAGTT
AGCCGGCGTTTCTGCAAGTACCGTCACAAAGCTTCTCCTGCTAAAGAGGTTACAACCC
GAAGGCCGTATCCCTCACGCCGGTGTGCATCAGGCTTCCGCCATTGTGCAATATTCCCCAC
TGCTGCCTCCGTAGGAGACTGGGGCGTGTCTCAGTCCAGTGTGGCCGGTCACCCTCTCAGGCCG
GCTACCCGTCGACGCCCTGGTGAGCCATTACCAACCAACAAGCTGATAGGCCAGGCCATC

>MSI10_Anthrobacter_nitrophenolicus

CSTCAGTCCACCTAAGAAGGCTCCCTCCCACAAGGGGTTAAGGCCACCGGCTCGGGAGGTTACC
AACTTCGTGACTTGACGGCGGTGTACAAGCCGGAACGTATTACCGCAGCGTTGCTGAT
CTGCAGTACTAGCGACTCCGACTCAAGGGGCGAGTTGCAGACCCCAATCCGAACGTGAGACCGG
CTTTTGGGATTAGCTCACCTCACAGTATCGAACCCCTTGTACCGGCCATTGTAGCATGCGTGA
AGCCCAAGACATAAGGGCATGATGATTGACGTCGCCCCACCTCCTCGAGTTGACCCGGCA
GTCTCCTATGAGTCCCCACCATCACGTGCTGCCAACATAGAACGAGGGTTGCCTCGGGAC
TTAACCCAACATCTCACGACACGAGCTGACGACAACCATGCACCACTGTAAACCAGCCCCAAAGG
GGAAACACATTCTGCCGGTCCGGTCCATGTCAAGCCTGGTAAGGTTCTCGCGTTGCACTCG

AATTAATCCGCATGCTCCGCCGCTTGTGCGGGCCCCCGTCAATTCTTGAGTTTAGCCTTGC
CCGTACTCCCCAGGCAGGGCACTTAATGCGTAGCTACGGCGCGAAACGTGGAATGTCCCCCAC
ACCTAGTGCCCAACGTTACGGCATGGACTACCAGGGTATCTAATCCTGTCGCTCCCCATGCTT
CGCTCCTCAGCGTCAGTTAATGCCAGAGACCTGCCTCGCCATCGGTGTCCTCCTGATATCTGC
GCATTTCACCGCTACACCAGGAATTCCAGTCTCCCCTACATCACTCTAGTCTGCCGTACCCACCG
CAGATCCCGGAGTTGAGCCCCGGACTTCACGGCAGACGCGACAAACGCCCTACGAGCTTTACG
CCCAATAATTCAAGGATACGCTGCGCCCTACGTATTACGCGCTGCTGGCACGTAGTAGCCGCGCTTC
TTCTGCAGTACCGTCACTTCGCTTCCCTACTGAARAGGATAACACCGGAAGCCGTACCTC
GCGGCAGTCTGGCATAAGGCTTCGAAGCCCGA

```
>MSI11_Anthrobacter_nitrophenolicus
AGAGRTCAACTAGACGGCTCCCTCCCACAAGGGGGTAGGCCACCGACTCGGGTGTTACCAACT
TTCGTGACTTGACGGCGGTGTACAAGGCCGGAACGTATTCACCGCAGCGTTGCTGATCTGC
GATTACTAGCGACTCCGACTTCATGGGTCGAGTTGCAGACCCCCAATCCGAACCTGAGACC GGCTT
TTGGGATTAGCTCACCTACAGTATCGAACCCCTTGTACCGGCCATTGTAGCATGCGTAAGGC
CAAGACATAAGGGGCATGATGATTGACGTCGCCCCACCTCCTCGAGTTGACCCGGCAGTCT
CCTATGAGTCCCCACCATCACGTGCTGGCAACATAGAACGAGGGTTGCGCTCGTGC GGACTAA
CCCAACATCTCACGACACGAGCTGACGACAACCATGCACCACTGTAACACCAGCCCCAAAGGGGAA
ACCACATTCTGGCGGGTCCGGTCCATGTCAAGCCTGGTAAGGTTCTCGCGTGCATGAATT
AATCCGCATGCTCCGGCGTGTGCGGGCCCCGTCAATTCTTGAGTTAGCCTTGCGGCCGT
ACTCCCCAGGCAGGGCACTTAATGCGTTAGCTACGGCGGGAAAACGTGGAATGTC CCCACACCT
AGTGCCAACGTTACGGCATGGACTACCAGGGTATCTAATCCTGTTGCTCCCCATGCTT CGCT
CCTCAGCGTCAGTTAATGCCAGAGACCTGCCTCGCCATCGGTGTTCTCTGATATCTGCGCAT
TTCACCGCTACACCAGGAATTCCAGTCTCCCTACATCACTCTAGTCTGCCGTACCCACCGCAGA
TCCCGGAGTTGAGCCCGGACTTCACGGCAGACGCGACAAACCGCCTACGGAGCTCTTACGCCA
ATAATTCCGGATACGTTGCGCCCTACGTATAACGCGCTGCTGGCACGTAGTAGCCGCGCTCCTCTG
CAGTACGTCACTTCGCTCCTCCCTACTGAAGAGTTACACCGAGCGTCATCCTCAGCGTCGGCGAT
CCTGCATCAGCCATGGGGCC
```

```
>PSI7_Bacillus_sp.  
AGTCGAGCGAACTGATTAGAAGCTTGCATTCTATGACGTTAGCGCGGACGGGTGAGTAACACGTG  
GGCAACCTGCCTGTAAGACTGGGATAACTTCGGAAACCGAAGCTAATACCGGATAGGATCTTCTC  
CTTCATGGGAGATGATTGAAAGATGGTTCGCTATCACTACAGATGGGCCCGCGGTGATTAGC  
TAGTTGGTGAGGTAAACGGCTACCAAGGCAACGATGCATAGCCGACCTGAGAGGGTGATCGGCCAC  
ACTGGGACTGAGACACGGCCCAGACTCCTACGGGAGGCAGCAGTAGGAAATCTTCCGAATGGACG  
AAAGTCTGACGGAGCAACGCCGCGTGAAGTGAAGGTTCGGGTGTAAAAGTCTGTTGTTAGG  
GAAGAACAAAGTACGAGAGTAACTGCTGTACCTGACGGTACCTAACAGAAAGCCACGGCTAACT  
ACGTGCCAGCAGCCGCGGTAAATACGTAGGTGGCAAGCGTTATCGGAATTATTGGCGTAAAGCGC  
GCGCAGGCGGTTCTTAAGTCTGATGTGAAAGCCCACGGCTAACCGTGGAGGGTATTGGAAACT  
GGGGAACTTGAGTGCAGAAGAGAAAAGCGGAATTCCACGTGTAGCGGTGAAATCGTAGAGATGTG  
GAGGAACACCAGTGGCGAAGGCGGTTTGGTCTGTAACGTGACGCTGAGGCGCGAAAGCGTGGGG  
AGCAAACAGGATAAATACCTGGTAGTCCCCCGCGTAAACGATGAAGGGCTAAAGGATTAAAG  
GATTTCCCCCCCCCTTAGGGCTCCACCTAACCCATTAGCCAACCCCCCGGGGAATACGGAACACA  
AAAATTGAAACTCAAGGAATTAAAGGGGACCCCCAAAAAGGGGAAACATTGGATTTTTTAC  
AACACCCAAGAAAAACTTACCGGGATTAGAATACCTTAGAAAAA
```

```
>PSI9_Bacillus_thuringiensis
TGCAGTCGAGCGAATGGATTAAGAGCTTGCATCTTATGAAGTTAGCGGCCGACGGGTGAGTAACAC
GTGGGTAACCTGCCATAAGACTGGGATAACTCCGGAAACCGGGCTAATACCGGATAACATT
GAAC TGCA TGGT CGAA ATT GAA AGG CGG CT CGG CT GT CA CTT AT GG AT GG AC CC CG GT CG C ATT
AGCTAGTTGGTGAGGTAAACGGCTCACCAAGGCAACGATGCGTAGCCGACCTGAGAGGGTGATCGGC
CACACTGGGACTGAGACACGGCCCAGACTCCTACGGGAGGCAGCAGTAGGGAATCTCCGCAATGG
```

ACGAAAGTCTGACGGAGCAACGCCCGTGAGTGATGAAGGCTTCGGGTCGTAAAACCTCTGTTGTT
AGGGAAAGAACACAAGTCTAGTTGAATAAGCTGGCACCTGACGGTACCTAACAGAAAGCCACGGCT
AACTACGTGCCAGCAGCCGGTAATACGTAGGTGGCAAGCGTTATCGGAATTATTGGCGTAAAGCGT
GCGCGCGCAGGTGGTTCTTAAGTCTGATGTGAAAGCCCACGGCTCAACCGTGGAGGGTCATTGGA
AACTGGGAGACTTGAGTGAGAAGAGGAAAGTGGATTCCATGTGTAGCGGTGAAATGCGTAGAGA
TATGGAGGAACACCAGTGGCGAAGGCGACTTCTGGTCTGTAACTGACACTGAGGCGCGAAAGCGT
GGGGAGCAAACAGGATTAGATAACCTGGTAGTCCACGCCGTAAACGATGAGTGCTAAGTGTAGAG
GGTTTCCGCCCTTAGTGCTGAAGTTAACGCATTAAGCACTCCGCTGGGAGTACGCCGCAAGG
CTGAAACTCAAAGGAATTGACGGGGGCCCGACAAGCGGTGGAGCATGTGGTTAATTGAAAGCAA
CGCGAAGAACCTTACCAAGGTCTTGACATCCTCTGAAAACCCCTAGAGATAGGGCTTCCTCGGGA
GCAGAGTGACAGGTGGTGCATGGTTGCCTCAACTCCTAACAAAAATGTTGGGTTAAGTCC